

1 1 立体骨組の解析

11.1 変位場の一次元化

立体骨組要素の任意点の x, y, z 方向変位 u, v, w は，断面剛の仮定と Bernoulli-Euler の仮定より，次式のように断面の図心軸上の軸方向変位 u^c ，たわみ v^c, w^c ，ねじり角 θ_x によって表される。

$$\begin{aligned} u(x, y, z) &= u^c(x) - y \frac{dv^c(x)}{dx} - z \frac{dw^c}{dx} + \omega(y, z)\phi \\ v(x, y, z) &= v^c(x) - z\theta_x(x) \\ w(x, y, z) &= w^c(x) + y\theta_x(x) \end{aligned} \quad (11.1)$$

ここに， ω はゆがみ関数， ϕ は $\phi = d\theta_x / dx$ であるが，ここではサンブナンねじりを仮定し， ϕ は一定とする。

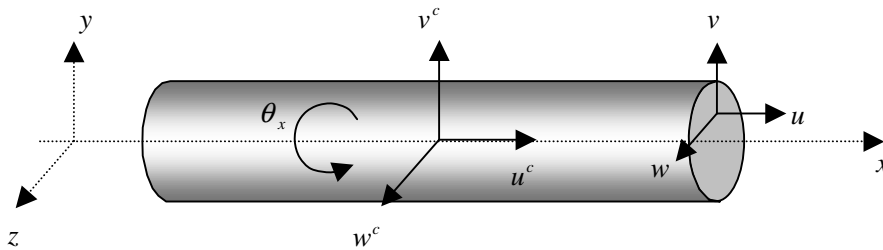


図 11.1 はり要素とはりの変位場

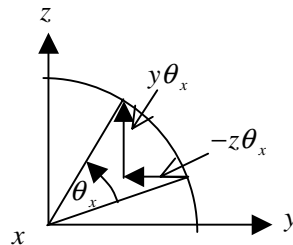


図 11.2 ねじり角と変位 v, w の関係

(11.1)式より，ひずみ成分が次式のように計算される。

$$\begin{aligned} \varepsilon_x &= \frac{\partial u}{\partial x} = \frac{du^c(x)}{dx} - y \frac{d^2v^c(x)}{dx^2} - z \frac{d^2w^c(x)}{dx^2} \\ \gamma_{xy} &= \frac{\partial u}{\partial y} + \frac{\partial v}{\partial x} = \left(\frac{\partial \omega}{\partial y} - z \right) \phi \\ \gamma_{zx} &= \frac{\partial w}{\partial x} + \frac{\partial u}{\partial z} = \left(\frac{\partial \omega}{\partial z} + y \right) \phi \\ \varepsilon_y &= \varepsilon_z = \gamma_{yz} = 0 \end{aligned} \quad (11.2)$$

また，応力 - ひずみ関係式より，応力成分は次式のように表される。

$$\begin{aligned}
\sigma_x &= E\varepsilon_x \\
\tau_{xy} &= G\gamma_{xy} \\
\tau_{zx} &= G\gamma_{zx} \\
\sigma_y &= \sigma_z = \tau_{yz} = 0
\end{aligned}
\tag{11.3}$$

したがって，要素のひずみエネルギーは次式で表される。

$$V^e = \frac{1}{2} \iiint E \left(\frac{du^c}{dx} - y \frac{d^2v^c}{dx^2} - z \frac{d^2w^c}{dx^2} \right)^2 dx dy dz + \frac{1}{2} \iiint G \phi^2 \left\{ \left(\frac{\partial \omega}{\partial y} - z \right)^2 + \left(\frac{\partial \omega}{\partial z} + y \right)^2 \right\} dx dy dz
\tag{11.4}$$

断面内 (y, z) の積分を行うと次のようになる。

$$V^e = \frac{1}{2} \int_0^l \left\{ EA \left(\frac{du^c}{dx} \right)^2 + EI_z \left(\frac{d^2v^c}{dx^2} \right)^2 + EI_y \left(\frac{d^2w^c}{dx^2} \right)^2 + GK \phi^2 \right\} dx
\tag{11.5}$$

ここに， l は，はり要素の長さであり，また，

$$\begin{aligned}
A &= \iint dy dz \\
I_z &= \iint y^2 dy dz, I_y = \iint z^2 dy dz \\
K &= \iint \left\{ \left(\frac{\partial \omega}{\partial y} - z \right)^2 + \left(\frac{\partial \omega}{\partial z} + y \right)^2 \right\} dy dz
\end{aligned}
\tag{11.6}$$

また，(11.5)式の導出では，断面の原点は図心，座標軸は断面の主軸方向とするため，

$$\iint y dy dz = 0, \iint z dy dz = 0, \iint yz dy dz = 0
\tag{11.7}$$

であることを利用している。

11.2 離散化

(11.1)式の断面の図心軸上の軸方向変位 u^c ，たわみ v^c, w^c ，ねじり角 θ_x を，それぞれ次式のようにはり要素の節点変位で表す。

$$\begin{aligned}
u^c(x) &= \left(1 - \frac{x}{l} \right) u_i^c + \frac{x}{l} u_j^c \\
v^c(x) &= \left\{ 1 - 3 \left(\frac{x}{l} \right)^2 + 2 \left(\frac{x}{l} \right)^3 \right\} v_i^c + l \left\{ \left(\frac{x}{l} \right) - 2 \left(\frac{x}{l} \right)^2 + \left(\frac{x}{l} \right)^3 \right\} \theta_{xi} + \left\{ 3 \left(\frac{x}{l} \right)^2 - 2 \left(\frac{x}{l} \right)^3 \right\} v_j^c + l \left\{ - \left(\frac{x}{l} \right)^2 + \left(\frac{x}{l} \right)^3 \right\} \theta_{xj} \\
w^c(x) &= \left\{ 1 - 3 \left(\frac{x}{l} \right)^2 + 2 \left(\frac{x}{l} \right)^3 \right\} w_i^c - l \left\{ \left(\frac{x}{l} \right) - 2 \left(\frac{x}{l} \right)^2 + \left(\frac{x}{l} \right)^3 \right\} \theta_{yi} + \left\{ 3 \left(\frac{x}{l} \right)^2 - 2 \left(\frac{x}{l} \right)^3 \right\} w_j^c - l \left\{ - \left(\frac{x}{l} \right)^2 + \left(\frac{x}{l} \right)^3 \right\} \theta_{yj} \\
\theta_x(x) &= \left(1 - \frac{x}{l} \right) \theta_{xi} + \frac{x}{l} \theta_{xj}
\end{aligned}
\tag{11.8}$$

ただし， $\theta_z = dv^c / dx$ ， $\theta_y = -dw^c / dx$ である。

(11.8)式を(11.5)式に代入して計算すると次式が得られる。

$$V^e = \frac{1}{2} \{U^e\}^T [k] \{U^e\} \quad (11.9)$$

ここに,

$$\{U^e\}^T = \{u_i^c \ v_i^c \ w_i^c \ \theta_{xi} \ \theta_{yi} \ \theta_{zi} \ u_j^c \ v_j^c \ w_j^c \ \theta_{xj} \ \theta_{yj} \ \theta_{zj}\} \quad (11.10)$$

$$[k] = \begin{bmatrix} k_{11} & & & & & & & & & & & \text{Sym.} \\ 0 & k_{22} & & & & & & & & & & \\ 0 & 0 & k_{33} & & & & & & & & & \\ 0 & 0 & 0 & k_{44} & & & & & & & & \\ 0 & 0 & k_{53} & 0 & k_{55} & & & & & & & \\ 0 & k_{62} & 0 & 0 & 0 & k_{66} & & & & & & \\ k_{71} & 0 & 0 & 0 & 0 & 0 & k_{77} & & & & & \\ 0 & k_{82} & 0 & 0 & 0 & k_{86} & 0 & k_{88} & & & & \\ 0 & 0 & k_{93} & 0 & k_{95} & 0 & 0 & 0 & k_{99} & & & \\ 0 & 0 & 0 & k_{104} & 0 & 0 & 0 & 0 & 0 & k_{1010} & & \\ 0 & 0 & k_{113} & 0 & k_{115} & 0 & 0 & 0 & k_{119} & 0 & k_{1111} & \\ 0 & k_{122} & 0 & 0 & 0 & k_{126} & 0 & k_{128} & 0 & 0 & 0 & k_{1212} \end{bmatrix} \quad (11.11)$$

$$\begin{aligned} k_{11} &= \frac{EA}{l}, k_{22} = \frac{12EI_z}{l^3}, k_{33} = \frac{12EI_y}{l^3}, k_{44} = \frac{GK}{l} \\ k_{53} &= -\frac{6EI_y}{l^2}, k_{55} = \frac{4EI_y}{l}, k_{62} = \frac{6EI_z}{l^2}, k_{66} = \frac{4EI_z}{l} \\ k_{71} &= -k_{11}, k_{77} = k_{11}, k_{82} = -k_{22}, k_{86} = -k_{62}, k_{88} = k_{22} \\ k_{93} &= -k_{33}, k_{95} = -k_{53}, k_{99} = k_{33}, k_{104} = -k_{44}, k_{1010} = k_{44} \\ k_{113} &= k_{53}, k_{115} = k_{55}/2, k_{119} = -k_{53}, k_{1111} = k_{55} \\ k_{122} &= k_{62}, k_{126} = k_{66}/2, k_{128} = -k_{62}, k_{1212} = k_{66} \end{aligned} \quad (11.12)$$

11.3 要素剛性マトリックスの座標変換

本節以降では、要素の座標系で定義されたものに上付バーを付し、全体座標系で定義されたものと区別する。

(11.11)式の節点変位ベクトルは要素の座標系で定義されたものであるからこれを $\{\bar{U}^e\}$ と表すと、全体座標系で定義された節点変位 $\{U^e\}$ との関係は、(3.2)式で表される座標変換マトリックスを用いて、次式のように表される。

$$\{\bar{U}^e\} = [T_g] \{U^e\} \quad (11.13)$$

ここに,

$$\{\bar{U}^e\}^T = \{\bar{u}_i^c \ \bar{v}_i^c \ \bar{w}_i^c \ \bar{\theta}_{xi} \ \bar{\theta}_{yi} \ \bar{\theta}_{zi} \ \bar{u}_j^c \ \bar{v}_j^c \ \bar{w}_j^c \ \bar{\theta}_{xj} \ \bar{\theta}_{yj} \ \bar{\theta}_{zj}\} \quad (11.14)$$

$$\{U^e\}^T = \{u_i^c \ v_i^c \ w_i^c \ \theta_{xi} \ \theta_{yi} \ \theta_{zi} \ u_j^c \ v_j^c \ w_j^c \ \theta_{xj} \ \theta_{yj} \ \theta_{zj}\} \quad (11.15)$$

$$[T_g] = \begin{bmatrix} [T] & & & \\ & [T] & & \\ & & [T] & \\ & & & [T] \end{bmatrix}, [T] = \begin{bmatrix} l_{\bar{x}\bar{x}} & l_{\bar{x}\bar{y}} & l_{\bar{x}\bar{z}} \\ l_{\bar{y}\bar{x}} & l_{\bar{y}\bar{y}} & l_{\bar{y}\bar{z}} \\ l_{\bar{z}\bar{x}} & l_{\bar{z}\bar{y}} & l_{\bar{z}\bar{z}} \end{bmatrix} \quad (11.16)$$

(11.13)式を(11.9)式に代入すると、全体座標系で定義された要素剛性マトリックスが次式により得られる。ただし、次式では $[\bar{k}]$ が(11.11)式で定義されるものである。

$$[k] = [T_g][\bar{k}][T_g] \quad (11.17)$$

(11.17)式を具体的に計算すると以下のようにになる。ただし、表記を簡単にするため、 $[T]$ の成分を次のように表しておく。

$$[T] = \begin{bmatrix} l_{\bar{x}} & m_{\bar{x}} & n_{\bar{x}} \\ l_{\bar{y}} & m_{\bar{y}} & n_{\bar{y}} \\ l_{\bar{z}} & m_{\bar{z}} & n_{\bar{z}} \end{bmatrix} \quad (11.18)$$

このとき、

$$[k] = \begin{bmatrix} k_{11} & & & & & & & & & & & & & & & \\ k_{21} & k_{22} & & & & & & & & & & & & & & & \\ k_{31} & k_{32} & k_{33} & & & & & & & & & & & & & & \\ k_{41} & k_{42} & k_{43} & k_{44} & & & & & & & & & & & & & \\ k_{51} & k_{52} & k_{53} & k_{54} & k_{55} & & & & & & & & & & & & \\ k_{61} & k_{62} & k_{63} & k_{64} & k_{65} & k_{66} & & & & & & & & & & & \\ k_{71} & k_{72} & k_{73} & k_{74} & k_{75} & k_{76} & k_{77} & & & & & & & & & & \\ k_{81} & k_{82} & k_{83} & k_{84} & k_{85} & k_{86} & k_{87} & k_{88} & & & & & & & & & \\ k_{91} & k_{92} & k_{93} & k_{94} & k_{95} & k_{96} & k_{97} & k_{98} & k_{99} & & & & & & & & \\ k_{101} & k_{102} & k_{103} & k_{104} & k_{105} & k_{106} & k_{107} & k_{108} & k_{109} & k_{1010} & & & & & & & \\ k_{111} & k_{112} & k_{113} & k_{114} & k_{115} & k_{116} & k_{117} & k_{118} & k_{119} & k_{1110} & k_{1111} & & & & & & \\ k_{121} & k_{122} & k_{123} & k_{124} & k_{125} & k_{126} & k_{127} & k_{128} & k_{129} & k_{1210} & k_{1211} & k_{1212} & & & & & \end{bmatrix} \text{Sym.} \quad (11.19)$$

ここに、

$$\begin{aligned} k_{11} &= \bar{k}_{11}l_{\bar{x}}^2 + \bar{k}_{22}l_{\bar{y}}^2 + \bar{k}_{33}l_{\bar{z}}^2 \\ k_{21} &= \bar{k}_{11}l_{\bar{x}}m_{\bar{x}} + \bar{k}_{22}l_{\bar{y}}m_{\bar{y}} + \bar{k}_{33}l_{\bar{z}}m_{\bar{z}}, k_{22} = \bar{k}_{11}m_{\bar{x}}^2 + \bar{k}_{22}m_{\bar{y}}^2 + \bar{k}_{33}m_{\bar{z}}^2 \\ k_{31} &= \bar{k}_{11}l_{\bar{x}}n_{\bar{x}} + \bar{k}_{22}l_{\bar{y}}n_{\bar{y}} + \bar{k}_{33}l_{\bar{z}}n_{\bar{z}}, k_{32} = \bar{k}_{11}m_{\bar{x}}n_{\bar{x}} + \bar{k}_{22}m_{\bar{y}}n_{\bar{y}} + \bar{k}_{33}m_{\bar{z}}n_{\bar{z}}, k_{33} = \bar{k}_{11}n_{\bar{x}}^2 + \bar{k}_{22}n_{\bar{y}}^2 + \bar{k}_{33}n_{\bar{z}}^2 \\ k_{41} &= (\bar{k}_{53} + \bar{k}_{62})l_{\bar{y}}l_{\bar{z}}, k_{42} = \bar{k}_{53}l_{\bar{y}}m_{\bar{z}} + \bar{k}_{62}l_{\bar{z}}m_{\bar{y}}, k_{43} = \bar{k}_{53}l_{\bar{y}}n_{\bar{z}} + \bar{k}_{62}l_{\bar{z}}n_{\bar{y}}, k_{44} = \bar{k}_{44}l_{\bar{x}}^2 + \bar{k}_{55}l_{\bar{y}}^2 + \bar{k}_{66}l_{\bar{z}}^2 \\ k_{51} &= \bar{k}_{53}l_{\bar{z}}m_{\bar{y}} + \bar{k}_{62}l_{\bar{y}}m_{\bar{z}}, k_{52} = (\bar{k}_{53} + \bar{k}_{62})m_{\bar{y}}m_{\bar{z}}, k_{53} = \bar{k}_{53}m_{\bar{y}}n_{\bar{z}} + \bar{k}_{62}m_{\bar{z}}n_{\bar{y}} \\ k_{54} &= \bar{k}_{44}l_{\bar{x}}m_{\bar{x}} + \bar{k}_{55}l_{\bar{y}}m_{\bar{y}} + \bar{k}_{66}l_{\bar{z}}m_{\bar{z}}, k_{55} = \bar{k}_{44}m_{\bar{x}}^2 + \bar{k}_{55}m_{\bar{y}}^2 + \bar{k}_{66}m_{\bar{z}}^2 \\ k_{61} &= \bar{k}_{53}l_{\bar{z}}n_{\bar{y}} + \bar{k}_{62}l_{\bar{y}}n_{\bar{z}}, k_{62} = \bar{k}_{53}m_{\bar{z}}n_{\bar{y}} + \bar{k}_{62}m_{\bar{y}}n_{\bar{z}}, k_{63} = (\bar{k}_{53} + \bar{k}_{62})n_{\bar{y}}n_{\bar{z}} \\ k_{64} &= \bar{k}_{44}l_{\bar{x}}n_{\bar{x}} + \bar{k}_{55}l_{\bar{y}}n_{\bar{y}} + \bar{k}_{66}l_{\bar{z}}n_{\bar{z}}, k_{65} = \bar{k}_{44}m_{\bar{x}}n_{\bar{x}} + \bar{k}_{55}m_{\bar{y}}n_{\bar{y}} + \bar{k}_{66}m_{\bar{z}}n_{\bar{z}}, k_{66} = \bar{k}_{44}n_{\bar{x}}^2 + \bar{k}_{55}n_{\bar{y}}^2 + \bar{k}_{66}n_{\bar{z}}^2 \end{aligned}$$

$$\begin{aligned}
k_{71} &= -k_{11}, k_{72} = -k_{21}, k_{73} = -k_{31}, k_{74} = -k_{41}, k_{75} = -k_{51}, k_{76} = -k_{61}, k_{77} = k_{11} \\
k_{81} &= -k_{21}, k_{82} = -k_{22}, k_{83} = -k_{32}, k_{84} = -k_{42}, k_{85} = -k_{52}, k_{86} = -k_{62}, k_{87} = -k_{72}, k_{88} = k_{22} \\
k_{91} &= -k_{31}, k_{92} = -k_{32}, k_{93} = -k_{33}, k_{94} = -k_{43}, k_{95} = -k_{53}, k_{96} = -k_{63}, k_{97} = -k_{73}, k_{98} = -k_{83}, k_{99} = k_{33} \\
k_{101} &= k_{41}, k_{102} = k_{42}, k_{103} = k_{43} \\
k_{104} &= \frac{1}{2}(-2\bar{k}_{44}l_{\bar{x}}^2 + \bar{k}_{55}l_{\bar{y}}^2 + \bar{k}_{66}l_{\bar{z}}^2), k_{105} = \frac{1}{2}(-2\bar{k}_{44}l_{\bar{x}}m_{\bar{x}} + \bar{k}_{55}l_{\bar{y}}m_{\bar{y}} + \bar{k}_{66}l_{\bar{z}}m_{\bar{z}}) \\
k_{106} &= \frac{1}{2}(-2\bar{k}_{44}l_{\bar{x}}n_{\bar{x}} + \bar{k}_{55}l_{\bar{y}}n_{\bar{y}} + \bar{k}_{66}l_{\bar{z}}n_{\bar{z}}) \\
k_{107} &= k_{74}, k_{108} = k_{84}, k_{109} = k_{94}, k_{1010} = k_{44} \\
k_{111} &= k_{51}, k_{112} = k_{52}, k_{113} = k_{53} \\
k_{114} &= k_{105}, k_{115} = \frac{1}{2}(-2\bar{k}_{44}m_{\bar{x}}^2 + \bar{k}_{55}m_{\bar{y}}^2 + \bar{k}_{66}m_{\bar{z}}^2) \\
k_{116} &= \frac{1}{2}(-2\bar{k}_{44}m_{\bar{x}}n_{\bar{x}} + \bar{k}_{55}m_{\bar{y}}n_{\bar{y}} + \bar{k}_{66}m_{\bar{z}}n_{\bar{z}}) \\
k_{117} &= k_{75}, k_{118} = k_{85}, k_{119} = k_{95}, k_{1110} = k_{54}, k_{1111} = k_{55} \\
k_{121} &= k_{61}, k_{122} = k_{62}, k_{123} = k_{63} \\
k_{124} &= k_{106}, k_{125} = k_{116} \\
k_{126} &= \frac{1}{2}(-2\bar{k}_{44}n_{\bar{x}}^2 + \bar{k}_{55}n_{\bar{y}}^2 + \bar{k}_{66}n_{\bar{z}}^2) \\
k_{127} &= k_{76}, k_{128} = k_{86}, k_{129} = k_{96}, k_{1210} = k_{64}, k_{1211} = k_{65}, k_{1212} = k_{66}
\end{aligned} \tag{11.20}$$

11.4 座標変換マトリックスの計算

(11.18)式の座標変換マトリックスの成分は、次のように計算される。ただし、ここでは、全体座標系を (x, y, z) 、要素の座標系を $(\bar{x}, \bar{y}, \bar{z})$ で表す。また、全体座標系における要素両端の節点座標を $(x_i, y_i, z_i), (x_j, y_j, z_j)$ で表す。

(1) \bar{x} 軸方向の方向余弦

要素の材軸方向である \bar{x} 軸方向の方向余弦は次式で表される。

$$l_{\bar{x}} = (x_j - x_i)/l, m_{\bar{x}} = (y_j - y_i)/l, n_{\bar{x}} = (z_j - z_i)/l \tag{11.21}$$

ただし、 $l = \sqrt{(x_j - x_i)^2 + (y_j - y_i)^2 + (z_j - z_i)^2}$ 。

(2) \bar{y}, \bar{z} 軸方向の方向余弦

\bar{y}, \bar{z} 軸方向は、コードアングル(断面の回転角)を定義することによって与える。以下その方法について示す。

(a) 部材 \bar{x} 軸が全体 z 軸と平行でない場合

部材の \bar{x} 軸に垂直な平面 P を考え、その平面 P 上で、 xy 平面に平行な y' 軸を考え、つぎに、部材 \bar{x} 軸および y' 軸と右手の関係をなす z' 軸を考える。ここに、 y' 軸の正方向は、 z' 軸の正方向が全体 z 座標値が増大する方向を向くように定める。そして、平面 P 上で、 y' 軸から部材 \bar{y} 軸へ測った角をコードアングル θ とする。ただし、この角度は、部材 \bar{x} 軸まわりに右ねじ方向を正のコードアングルとする。

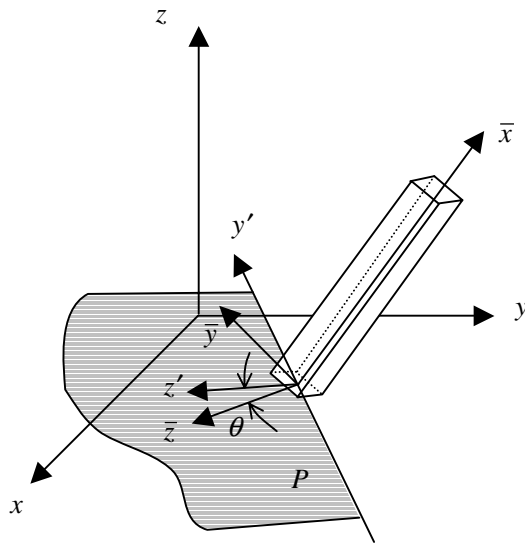


図 11.3 部材 \bar{x} 軸が全体 z 軸と平行でない場合のコードアングル θ

(b) 部材 \bar{x} 軸が全体 z 軸と平行な場合

全体 y 軸から部材 \bar{x} 軸へ測った角をコードアングル θ とする。ただし、部材 \bar{x} 軸まわりに右ねじの方向を正のコードアングルとする。

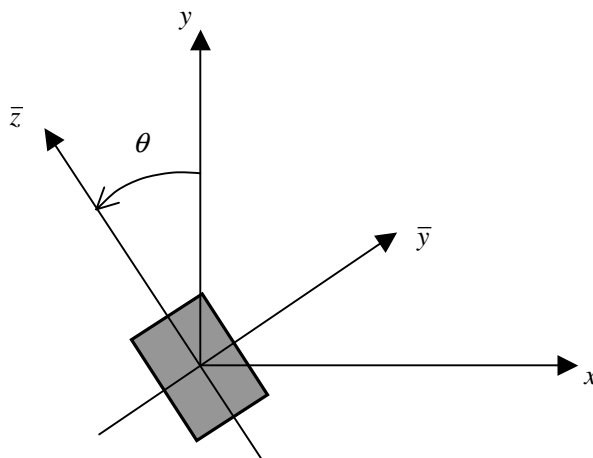


図 11.4 部材 \bar{x} 軸が全体 z 軸と平行な場合のコードアングル θ

以上の(a),(b)の場合についての方向余弦の計算法を示す。

まず、(a)の場合は、 y' 軸は部材 \bar{x} 軸に直交し、また xy 平面に平行であるから全体 z 軸に対しても直交する。したがって、部材 \bar{x} 軸方向の単位ベクトルを $e_{\bar{x}}$ 、全体 z 軸方向の単位ベクトルを e_z とすると、 y' 軸方向の単位ベクトル $e_{y'}$ は、 $e_{\bar{x}} \times e_z$ に比例する。すなわち、

$$e_z = \begin{Bmatrix} 0 \\ 0 \\ 1 \end{Bmatrix}, e_{\bar{x}} = \begin{Bmatrix} l_{\bar{x}} \\ m_{\bar{x}} \\ n_{\bar{x}} \end{Bmatrix}, e_{y'} = \begin{Bmatrix} l_{y'} \\ m_{y'} \\ n_{y'} \end{Bmatrix} \quad (11.22)$$

とすると、

$$l_{y'} = \frac{\mp m_{\bar{x}}}{\sqrt{l_{\bar{x}}^2 + m_{\bar{x}}^2}}, m_{y'} = \frac{\pm l_{\bar{x}}}{\sqrt{l_{\bar{x}}^2 + m_{\bar{x}}^2}}, n_{y'} = 0 \quad (\text{複号同順}) \quad (11.23)$$

複合のいずれをとるかは z' 軸によって決まる。

z' 軸方向の単位ベクトル $e_{z'}$ は、 $e_{\bar{x}}$ および $e_{y'}$ と右手系の関係をなすことから、

$$e_{z'} = \begin{Bmatrix} l_{z'} \\ m_{z'} \\ n_{z'} \end{Bmatrix} = e_{\bar{x}} \times e_{y'} \quad (11.24)$$

であるから、これを計算すると次式となる。

$$l_{z'} = m_{\bar{x}} n_{y'} - n_{\bar{x}} m_{y'}, m_{z'} = n_{\bar{x}} l_{y'} - l_{\bar{x}} n_{y'}, n_{z'} = l_{\bar{x}} m_{y'} - m_{\bar{x}} l_{y'} \quad (11.25)$$

ここで、 z' 軸の正の方向は、全体 z 座標値が増大する方向を正にとるので、

$$\cos(e_{z'}, e_z) = n_{z'} > 0 \quad (11.26)$$

となる必要がある。 $n_{z'}$ を(11.25),(11.23)式を用いて計算すると、

$$n_{z'} = \pm \sqrt{l_{\bar{x}}^2 + m_{\bar{x}}^2} \quad (11.27)$$

となるので、 $n_{z'} > 0$ となるためには、複号の前の方を採用しなければならない。

以上より、 y', z' の方向余弦は次のようになる。

$$\begin{aligned} l_{y'} &= \frac{-m_{\bar{x}}}{\sqrt{l_{\bar{x}}^2 + m_{\bar{x}}^2}}, m_{y'} = \frac{l_{\bar{x}}}{\sqrt{l_{\bar{x}}^2 + m_{\bar{x}}^2}}, n_{y'} = 0 \\ l_{z'} &= \frac{-n_{\bar{x}} l_{\bar{x}}}{\sqrt{l_{\bar{x}}^2 + m_{\bar{x}}^2}}, m_{z'} = \frac{-m_{\bar{x}} n_{\bar{x}}}{\sqrt{l_{\bar{x}}^2 + m_{\bar{x}}^2}}, n_{z'} = \sqrt{l_{\bar{x}}^2 + m_{\bar{x}}^2} \end{aligned} \quad (11.28)$$

となる。

部材 \bar{y} 軸方向の単位ベクトル $e_{\bar{y}}$ 、部材 \bar{z} 軸方向の単位ベクトル $e_{\bar{z}}$ と $e_{y'}, e_{z'}$ との関係は、コードアングル θ を用いて、

$$\begin{aligned} e_{\bar{y}} &= e_{y'} \cos \theta + e_{z'} \sin \theta \\ e_{\bar{z}} &= -e_{y'} \sin \theta + e_{z'} \cos \theta \end{aligned} \quad (11.29)$$

したがって、

$$\begin{aligned} e_{\bar{y}} &= \begin{Bmatrix} l_{\bar{y}} \\ m_{\bar{y}} \\ n_{\bar{y}} \end{Bmatrix} = \begin{Bmatrix} l_{y'} \\ m_{y'} \\ n_{y'} \end{Bmatrix} \cos \theta + \begin{Bmatrix} l_{z'} \\ m_{z'} \\ n_{z'} \end{Bmatrix} \sin \theta \\ e_{\bar{z}} &= \begin{Bmatrix} l_{\bar{z}} \\ m_{\bar{z}} \\ n_{\bar{z}} \end{Bmatrix} = -\begin{Bmatrix} l_{y'} \\ m_{y'} \\ n_{y'} \end{Bmatrix} \sin \theta + \begin{Bmatrix} l_{z'} \\ m_{z'} \\ n_{z'} \end{Bmatrix} \cos \theta \end{aligned} \quad (11.30)$$

一方、(b)の場合は、 z' 軸を全体 y 軸と一致させることになるから、部材 y' 軸は、

$$e_{y'} = \begin{Bmatrix} l_{y'} \\ m_{y'} \\ n_{y'} \end{Bmatrix} = e_{z'} \times e_{\bar{x}} = \begin{Bmatrix} 0 \\ 1 \\ 0 \end{Bmatrix} \times \begin{Bmatrix} l_{\bar{x}} \\ m_{\bar{x}} \\ n_{\bar{x}} \end{Bmatrix} = \begin{Bmatrix} n_{\bar{x}} \\ 0 \\ 0 \end{Bmatrix} \quad (11.31)$$

上式を(11.30)式に代入すると、

$$\begin{aligned}
\mathbf{e}_{\bar{y}} &= \begin{Bmatrix} l_{\bar{y}} \\ m_{\bar{y}} \\ n_{\bar{y}} \end{Bmatrix} = \begin{Bmatrix} n_{\bar{x}} \\ 0 \\ 0 \end{Bmatrix} \cos \theta + \begin{Bmatrix} 0 \\ 1 \\ 0 \end{Bmatrix} \sin \theta \\
\mathbf{e}_{\bar{z}} &= \begin{Bmatrix} l_{\bar{z}} \\ m_{\bar{z}} \\ n_{\bar{z}} \end{Bmatrix} = -\begin{Bmatrix} n_{\bar{x}} \\ 0 \\ 0 \end{Bmatrix} \sin \theta + \begin{Bmatrix} 0 \\ 1 \\ 0 \end{Bmatrix} \cos \theta
\end{aligned}
\tag{11.32}$$

参考のため，要素が全体座標軸上にあり，コードアングル 0 の場合の全体座標と要素座標の関係を図 11.5 に示しておく。

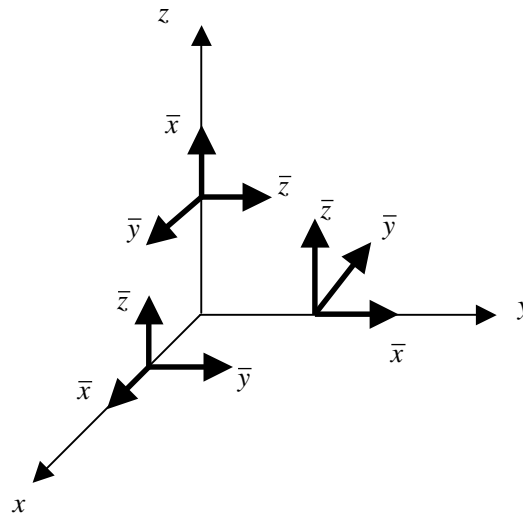


図 11.5 コードアングル 0 の場合の要素座標系と全体座標系の関係

11.4 断面力の計算法

立体骨組要素の場合，断面力は， y, z 方向のせん断力 Q_y, Q_z ， x 軸方向の軸力 P ， y, z 軸まわりの曲げモーメント M_y, M_z ， x 軸まわりのねじりモーメント M_x であり，それぞれ次式で定義される。

$$P = \iint \sigma_x dydz \tag{11.33}$$

$$M_y = \iint z \sigma_x dydz \tag{11.34}$$

$$M_z = -\iint y \sigma_x dydz \tag{11.35}$$

$$M_x = \iint \left\{ \left(\frac{\partial \omega}{\partial z} + y \right) \tau_{xy} + \left(\frac{\partial \omega}{\partial y} - z \right) \tau_{zx} \right\} dydz \tag{11.36}$$

$$Q_y = \frac{dM_z}{dx} \tag{11.37}$$

$$Q_z = \frac{dM_y}{dx} \quad (11.38)$$

ところで、断面内の応力 $\sigma_x, \tau_{xy}, \tau_{zx}$ は、要素座標系で定義された節点変位ベクトルから次式によって求められる。

$$\begin{aligned} \sigma_x &= E\varepsilon_x = E \left(\frac{du^c(x)}{dx} - y \frac{d^2v^c(x)}{dx^2} - z \frac{d^2w^c(x)}{dx^2} \right) \\ &= E \left[-\frac{1}{l} \quad \frac{1}{l} \right] \begin{Bmatrix} u_i^c \\ u_j^c \end{Bmatrix} - Ey \left[\left(-\frac{6}{l^2} + \frac{12}{l^3}x \right) \quad \left(-\frac{4}{l} + \frac{6}{l^2}x \right) \quad \left(\frac{6}{l^2} - \frac{12}{l^3}x \right) \quad \left(-\frac{2}{l} + \frac{6}{l^2}x \right) \right] \begin{Bmatrix} v_i^c \\ \theta_{zi} \\ v_j^c \\ \theta_{zj} \end{Bmatrix} \\ &\quad - Ez \left[\left(-\frac{6}{l^2} + \frac{12}{l^3}x \right) \quad -\left(-\frac{4}{l} + \frac{6}{l^2}x \right) \quad \left(\frac{6}{l^2} - \frac{12}{l^3}x \right) \quad -\left(-\frac{2}{l} + \frac{6}{l^2}x \right) \right] \begin{Bmatrix} w_i^c \\ \theta_{yi} \\ w_j^c \\ \theta_{yj} \end{Bmatrix} \quad (11.39) \\ \tau_{xy} &= G\gamma_{xy} = G \left(\frac{\partial u}{\partial y} + \frac{\partial v}{\partial x} \right) = G \left(\frac{\partial \omega}{\partial y} - z \right) \phi = G \left(\frac{\partial \omega}{\partial y} - z \right) \begin{Bmatrix} \theta_{xi} \\ \theta_{xj} \end{Bmatrix} \\ \tau_{zx} &= G\gamma_{zx} = G \left(\frac{\partial w}{\partial x} + \frac{\partial u}{\partial z} \right) = G \left(\frac{\partial \omega}{\partial z} + y \right) \phi = G \left(\frac{\partial \omega}{\partial z} + y \right) \begin{Bmatrix} \theta_{xi} \\ \theta_{xj} \end{Bmatrix} \end{aligned}$$

(11.39)式を(11.33)～(11.38)式に代入すると、

$$P = \frac{EA}{l} \begin{bmatrix} -1 & 1 \end{bmatrix} \begin{Bmatrix} u_i^c \\ u_j^c \end{Bmatrix} \quad (11.40)$$

$$M_y = EI_y \left[\left(-\frac{6}{l^2} + \frac{12}{l^3}x \right) \quad -\left(-\frac{4}{l} + \frac{6}{l^2}x \right) \quad \left(\frac{6}{l^2} - \frac{12}{l^3}x \right) \quad -\left(-\frac{2}{l} + \frac{6}{l^2}x \right) \right] \begin{Bmatrix} w_i^c \\ \theta_{yi} \\ w_j^c \\ \theta_{yj} \end{Bmatrix} \quad (11.41)$$

$$M_z = -EI_z \left[\left(-\frac{6}{l^2} + \frac{12}{l^3}x \right) \quad \left(-\frac{4}{l} + \frac{6}{l^2}x \right) \quad \left(\frac{6}{l^2} - \frac{12}{l^3}x \right) \quad \left(-\frac{2}{l} + \frac{6}{l^2}x \right) \right] \begin{Bmatrix} v_i^c \\ \theta_{zi} \\ v_j^c \\ \theta_{zj} \end{Bmatrix} \quad (11.42)$$

$$M_x = \frac{GK}{l} \begin{bmatrix} -1 & 1 \end{bmatrix} \begin{Bmatrix} \theta_{xi} \\ \theta_{xj} \end{Bmatrix} \quad (11.43)$$

$$Q_y = -EI_z \left[\frac{12}{l^3} \quad \frac{6}{l^2} \quad -\frac{12}{l^3} \quad \frac{6}{l^2} \right] \begin{Bmatrix} v_i^c \\ \theta_{zi} \\ v_j^c \\ \theta_{zj} \end{Bmatrix} \quad (11.44)$$

$$Q_z = EI_y \begin{bmatrix} \frac{12}{l^3} & -\frac{6}{l^2} & -\frac{12}{l^3} & -\frac{6}{l^2} \end{bmatrix} \begin{Bmatrix} w_i^c \\ \theta_{yi} \\ w_j^c \\ \theta_{yj} \end{Bmatrix} \quad (11.45)$$

ただし，断面の原点は図心に設定されているため， $\iint y dydz = 0$ ， $\iint z dydz = 0$ であり， A ， I_y ， I_z は，断面積と y ， z 軸まわりの断面二次モーメント， K はサンプナンのねじり定数でそれぞれ次式で定義される。

$$\begin{aligned} A &= \iint dydz \\ I_z &= \iint y^2 dydz, I_y = \iint z^2 dydz \\ K &= \iint \left\{ \left(\frac{\partial \omega}{\partial y} - z \right)^2 + \left(\frac{\partial \omega}{\partial z} + y \right)^2 \right\} dydz \end{aligned} \quad (11.46)$$

要素両端の曲げモーメントは，(11.41)，(11.42)式から次式となる。

$$M_{yi} = EI_y \begin{bmatrix} -\frac{6}{l^2} & \frac{4}{l} & \frac{6}{l^2} & \frac{2}{l} \end{bmatrix} \begin{Bmatrix} w_i^c \\ \theta_{yi} \\ w_j^c \\ \theta_{yj} \end{Bmatrix} \quad (11.47)$$

$$M_{yj} = EI_y \begin{bmatrix} \frac{6}{l^2} & -\frac{2}{l} & -\frac{6}{l^2} & -\frac{4}{l} \end{bmatrix} \begin{Bmatrix} w_i^c \\ \theta_{yi} \\ w_j^c \\ \theta_{yj} \end{Bmatrix}$$

$$M_{zi} = -EI_z \begin{bmatrix} -\frac{6}{l^2} & -\frac{4}{l} & \frac{6}{l^2} & -\frac{2}{l} \end{bmatrix} \begin{Bmatrix} v_i^c \\ \theta_{zi} \\ v_j^c \\ \theta_{zj} \end{Bmatrix} \quad (11.48)$$

$$M_{zj} = -EI_z \begin{bmatrix} \frac{6}{l^2} & \frac{2}{l} & -\frac{6}{l^2} & \frac{4}{l} \end{bmatrix} \begin{Bmatrix} v_i^c \\ \theta_{zi} \\ v_j^c \\ \theta_{zj} \end{Bmatrix}$$

以上の断面力をまとめて表すと次式となる。

$$\begin{Bmatrix} P \\ Q_y \\ Q_z \\ M_x \\ M_{yi} \\ M_{yj} \\ M_{zi} \\ M_{zj} \end{Bmatrix} = \begin{bmatrix} \frac{EA}{l} & 0 & 0 & 0 & 0 & 0 & \frac{EA}{l} & 0 & 0 & 0 & 0 & 0 \\ 0 & -\frac{12EI_z}{l^3} & 0 & 0 & 0 & -\frac{6EI_z}{l^2} & 0 & \frac{12EI_z}{l^3} & 0 & 0 & 0 & -\frac{6EI_z}{l^2} \\ 0 & 0 & \frac{12EI_y}{l^3} & 0 & -\frac{6EI_y}{l^2} & 0 & 0 & 0 & -\frac{12EI_y}{l^3} & 0 & -\frac{6EI_y}{l^2} & 0 \\ 0 & 0 & 0 & -\frac{GK}{l} & 0 & 0 & 0 & 0 & 0 & \frac{GK}{l} & 0 & 0 \\ 0 & 0 & -\frac{6EI_y}{l^2} & 0 & \frac{4EI_y}{l} & 0 & 0 & 0 & \frac{6EI_y}{l^2} & 0 & \frac{2EI_y}{l} & 0 \\ 0 & 0 & \frac{6EI_y}{l^2} & 0 & -\frac{2EI_y}{l} & 0 & 0 & 0 & -\frac{6EI_y}{l^2} & 0 & -\frac{4EI_y}{l} & 0 \\ 0 & \frac{6EI_z}{l^2} & 0 & 0 & 0 & \frac{4EI_z}{l} & 0 & -\frac{6EI_z}{l^2} & 0 & 0 & 0 & \frac{2EI_z}{l} \\ 0 & -\frac{6EI_z}{l^2} & 0 & 0 & 0 & -\frac{2EI_z}{l} & 0 & \frac{6EI_z}{l^2} & 0 & 0 & 0 & -\frac{4EI_z}{l} \end{bmatrix} \begin{Bmatrix} u_i^c \\ v_i^c \\ w_i^c \\ \theta_{xi} \\ \theta_{yi} \\ \theta_{zi} \\ u_j^c \\ v_j^c \\ w_j^c \\ \theta_{xi} \\ \theta_{yi} \\ \theta_{zi} \end{Bmatrix} \quad (11.49)$$

ただし、上式の節点変位は、要素の座標系で定義されたものであるから、(11.13)式によって、全体座標系の節点変位に変換する必要がある。(11.13)式を(11.49)式に代入すると、断面力は、全体座標系の節点変位から次式によって計算される。

$$\{S_f\} = [G]\{U^e\} \quad (11.50)$$

ここに、 $\{U^e\}$ は全体座標系で定義された節点変位ベクトル、また、 $\{S_f\}, [G]$ は次式となる。

$$\{S_f\}^T = \{P \quad Q_y \quad Q_z \quad M_x \quad M_{yi} \quad M_{yj} \quad M_{zi} \quad M_{zj}\} \quad (11.51)$$

$$[G] = \begin{bmatrix} G_{11} & G_{12} & G_{13} & 0 & 0 & 0 & G_{17} & G_{18} & G_{19} & 0 & 0 & 0 \\ G_{21} & G_{22} & G_{23} & G_{24} & G_{25} & G_{26} & G_{27} & G_{28} & G_{29} & G_{210} & G_{211} & G_{212} \\ G_{31} & G_{32} & G_{33} & G_{34} & G_{35} & G_{36} & G_{37} & G_{38} & G_{39} & G_{310} & G_{311} & G_{312} \\ 0 & 0 & 0 & G_{44} & G_{45} & G_{46} & 0 & 0 & 0 & G_{410} & G_{411} & G_{412} \\ G_{51} & G_{52} & G_{53} & G_{54} & G_{55} & G_{56} & G_{57} & G_{58} & G_{59} & G_{510} & G_{511} & G_{512} \\ G_{61} & G_{62} & G_{63} & G_{64} & G_{65} & G_{66} & G_{67} & G_{68} & G_{69} & G_{610} & G_{611} & G_{612} \\ G_{71} & G_{72} & G_{73} & G_{74} & G_{75} & G_{76} & G_{77} & G_{78} & G_{79} & G_{710} & G_{711} & G_{712} \\ G_{81} & G_{82} & G_{83} & G_{84} & G_{85} & G_{86} & G_{87} & G_{88} & G_{89} & G_{810} & G_{811} & G_{812} \end{bmatrix} \quad (11.52)$$

$$G_{11} = -\frac{EA}{l}n_x, G_{12} = -\frac{EA}{l}m_x, G_{13} = -\frac{EA}{l}n_x, G_{17} = -G_{11}, G_{18} = -G_{12}, G_{19} = -G_{13}$$

$$G_{21} = -\frac{12EI_z}{l^3}l_y, G_{22} = -\frac{12EI_z}{l^3}m_y, G_{23} = -\frac{12EI_z}{l^3}n_y$$

$$G_{24} = -\frac{6EI_z}{l^2}l_z, G_{25} = -\frac{6EI_z}{l^2}m_z, G_{26} = -\frac{6EI_z}{l^2}n_z$$

$$G_{27} = -G_{21}, G_{28} = -G_{22}, G_{29} = -G_{23}, G_{210} = G_{24}, G_{211} = G_{25}, G_{212} = G_{26}$$

$$\begin{aligned}
G_{31} &= \frac{12EI_y}{l^3} l_{\bar{z}}, G_{32} = \frac{12EI_y}{l^3} m_{\bar{z}}, G_{33} = \frac{12EI_y}{l^3} n_{\bar{z}} \\
G_{34} &= -\frac{6EI_y}{l^2} l_{\bar{y}}, G_{35} = -\frac{6EI_y}{l^2} m_{\bar{y}}, G_{36} = -\frac{6EI_y}{l^2} n_{\bar{y}} \\
G_{37} &= -G_{31}, G_{38} = -G_{32}, G_{39} = -G_{33}, G_{310} = G_{34}, G_{311} = G_{35}, G_{312} = G_{36} \\
G_{44} &= -\frac{GK}{l} l_{\bar{x}}, G_{45} = -\frac{GK}{l} m_{\bar{x}}, G_{46} = -\frac{GK}{l} n_{\bar{x}}, G_{410} = -G_{44}, G_{411} = -G_{45}, G_{412} = -G_{46} \\
G_{51} &= -\frac{6EI_y}{l^2} l_{\bar{z}}, G_{52} = -\frac{6EI_y}{l^2} m_{\bar{z}}, G_{53} = -\frac{6EI_y}{l^2} n_{\bar{z}} \\
G_{54} &= \frac{4EI_y}{l} l_{\bar{y}}, G_{55} = \frac{4EI_y}{l} m_{\bar{y}}, G_{56} = \frac{4EI_y}{l} n_{\bar{y}} \\
G_{57} &= -G_{51}, G_{58} = -G_{52}, G_{59} = -G_{53}, G_{510} = G_{54} / 2, G_{511} = G_{55} / 2, G_{512} = G_{56} / 2 \\
G_{61} &= -G_{51}, G_{62} = -G_{52}, G_{63} = -G_{53}, G_{64} = -G_{510}, G_{65} = -G_{511}, G_{66} = -G_{512} \\
G_{67} &= G_{51}, G_{68} = G_{52}, G_{69} = G_{53}, G_{610} = -G_{54}, G_{611} = -G_{55}, G_{612} = -G_{56} \\
G_{71} &= \frac{6EI_z}{l^2} l_{\bar{y}}, G_{72} = \frac{6EI_z}{l^2} m_{\bar{y}}, G_{73} = \frac{6EI_z}{l^2} n_{\bar{y}} \\
G_{74} &= \frac{4EI_z}{l} l_{\bar{z}}, G_{75} = \frac{4EI_z}{l} m_{\bar{z}}, G_{76} = \frac{4EI_z}{l} n_{\bar{z}} \\
G_{77} &= -G_{71}, G_{78} = -G_{72}, G_{79} = -G_{73}, G_{710} = G_{74} / 2, G_{711} = G_{75} / 2, G_{712} = G_{76} / 2 \\
G_{81} &= -G_{71}, G_{82} = -G_{72}, G_{83} = -G_{73}, G_{84} = -G_{710}, G_{85} = -G_{711}, G_{86} = -G_{712} \\
G_{87} &= G_{71}, G_{88} = G_{72}, G_{89} = G_{73}, G_{810} = -G_{74}, G_{811} = -G_{75}, G_{812} = -G_{76}
\end{aligned}$$